# 底栖藻类-苦草对猪粪废水中营养物质的去除效果

顾新跃,何 月,张秀青,王 青,裴国凤\*

(中南民族大学生命科学学院, 武汉 430074)

摘 要:为了探究底栖藻类和沉水植物(苦草)对猪粪废水的处理效果,及苦草恢复重建的环境条件,通过设置不同浓度的猪粪废水处理,进行了为期 32 d 的室内模拟实验。结果表明:底栖藻类、苦草、底栖藻类-苦草处理组对高浓度猪粪废水的 COD 和氮、磷均存在显著的去除效果;COD 的最大去除率均大于 86%,底栖藻类-苦草混合培养对高、中浓度猪粪废水中磷、氮的平均去除率分别大于 62%和 70%,高于二者单独培养的处理组(均小于 59%和 65%)。实验期间,底栖藻类、苦草和浮游藻类 Chla 含量的变化以及苦草的 CAT、MDA 含量变化表明,高浓度的猪粪废水会对苦草产生短期的逆境胁迫,但底栖藻类的存在可以减缓高浓度氮磷对苦草的胁迫效应,在中浓度氮磷目有底栖藻类存在的条件下,有利于苦草的恢复重建。

关键词:底栖藻类;苦草;营养物质;去除效果;逆境胁迫

中图分类号:X52 文献标志码:A 文章编号:1672-2043(2014)08-1625-06 doi:10.11654/jaes.2014.08.022

## Nutrient Removal Rates from Swine Wastewater Using Periphyton-Vallisneria Natan

GU Xin-yue, HE Yue, ZHANG Xiu-qing, WANG Qing, PEI Guo-feng\*

(College of Life Sciences, South-Central University for Nationalities, Wuhan 430074, China)

Abstract: Water plants are often used to remove nutrients from wastewater. This research was conducted to assess the efficiency of nutrient removal from swine wastewater using biological treatment system in a laboratory-scale experiment with periphyton and submerged macrophyte-Vallisneria natan during 32 days. The systems included high, medium and low concentrations of nutrients in wastewater. The maximum removal rates of chemical oxygen demand (COD) were more than 86% at high concentrations. The average phosphorus (P) and nitrogen(N) removal rates were respectively over 62% and 70% for both high and medium concentrations in mixed nutrient systems, greater than in single nutrient systems (59% and 65%). Changes of physiological activities showed that V. natan suffered a short-term stress at high nutrient concentrations. However, such stresses could be alleviated by the presence of periphyton. In conclusion, the optimum condition for V. natan would be medium concentrations of nutrients with periphyton.

**Keywords**: periphyton; *Vallisneria natan*; nutrients; removal efficiency; adverse stress

底栖藻类和沉水植物作为水生态系统的重要初级生产者,能消耗水体中的氮、磷等营养物质,对水生生态系统的稳定发挥着重要作用。植物生态修复优于传统理化方法,是国内外学者研究的热点。利用大型水生植物及用其构建的人工湿地,能有效去除水体中的氮、磷、COD等营养物质<sup>[1-2]</sup>,因而是重建和恢复沉水植被成为修复富营养化湖泊的有效途径<sup>[3]</sup>。目前,国

来,我国也出现了利用底栖藻类去除水体中氮、磷等营养物质的报道<sup>向</sup>。

外利用底栖藻类对水质进行处理的报道较多[4-5],近年

因为这些研究多以底栖藻类或苦草作为单一的研究对象,而有关二者共同存在于一个处理系统的研究较少,富营养化浅水湖泊的沿岸带存在着大量的底栖藻类和沉水植物,所以研究底栖藻类和沉水植物的相互关系,对于沉水植物的衰退机理或重建都意义重大。苦草作为我国最常见的沉水植物,常被作为富营养化水体植被恢复工程的主要选用品种心。有研究认为苦草比较适合在富营养化水体中生长,但氮磷营养盐浓度过高将抑制苦草的光合生理活动,从而影响苦

收稿日期:2014-02-17

基金项目:国家自然科学基金(30970550);国家级大学生创新创业训练项目(GCX13105);国家民族药学实验教学中心(4067)

作者简介:顾新跃(1992—),男,内蒙古呼和浩特人,学士,从事环境科

学研究。E-mail:heyue19900328@126.com

<sup>\*</sup>通信作者:裴国凤 E-mail:peigf@mail.scuec.edu.cn

草的生长[8],而底栖藻类对高浓度的氮磷营养物质具 有较好的去除能力,能使水质中氮磷含量降低到较低 水平, 因此探究底栖藻类-苦草对氮磷等物质的处理 效果十分必要,进一步探讨苦草与底栖藻类共存时苦 草对不同浓度废水的生理响应,能够为沉水植被的恢 复和重建提供科学依据。

本实验以富营养化湖泊原位培养的底栖藻类群 落及苦草为研究对象,通过静态模拟实验,研究底栖 藻类-苦草对不同浓度的猪粪废水中营养物质的去除 效果,探讨沉水植物恢复重建的最佳条件,旨在为污 水处理和富营养湖泊治理提供理论依据。

## 材料与方法

## 1.1 实验材料的采集与制备

用花岗岩(15 cm×8 cm×1 cm)作为人工基质,清 洗干净并晾干,置于武汉城区的东湖沿岸带(水深 20~30 cm) 进行原位培养,20 d 后将生长有底栖藻类 的人工基质收回,同时采集沿岸带苦草,在温室内用 取样点的湖水预培养1周。将在养猪场采集的新鲜猪 粪处理后用于制备一定浓度的猪粪废水。

### 1.2 实验设置和培养条件

本试验处理系统使用 5 个玻璃缸(60 cm×22 cm× 24 cm),共设置 5 个处理组, A 组放置 5 块藻垫(初始 总 Chla 现存量为 5. 2~5. 8 mg·cm<sup>-2</sup>)单独培养, B 组种 植 10 株苦草单独培养, C、D、E 组均为 5 块藻垫和 10 株苦草混合培养;缸底均铺有约5cm厚的细沙,分别 装有 18 L 不同浓度的猪粪废水。实验在 21~24 ℃的 温室内进行,以日光灯为光源,表层光照强度为48~ 52 μmol·m<sup>-2</sup>·s<sup>-1</sup>,同时在每个玻璃缸里设置 1 个曝气 头,并调节至相同曝气速度。实验周期为32 d。

#### 1.3 测定项目和分析方法

每隔2d(或4d),测定各处理系统的总磷(Total phosphorus,TP)、总溶解性磷(Total dissolved phosphorus,TDP)、可溶活性态磷(Soluble reactive phosphorus, SRP)、总氮(Total nitrogen,TN)、总溶解性氮(Total dissolved nitrogen, TDN)和化学需氧量(Chemical oxygen demand, COD)的浓度,参照国家环保局制定的标 准方法<sup>19</sup>,同时测定底栖藻类、浮游藻类、苦草的生物 量,以叶绿素 a(Chla)的含量表示。底栖藻类、浮游藻 类 Chla 含量的测定方法参照 APHA[10], 苦草Chla 含 量的测定参照孔详生等凹的方法。每隔7d测定1次 各处理系统苦草叶片的丙二醛(MDA)含量和过氧化 氢酶(CAT)活性,其中 MDA 的测定参照张以顺等[12],

CAT 的测定参照杨兰芳等[13]。实验开始和结束时分别 测定各处理组苦草的鲜重。

#### 1.4 数据处理及分析

 $N_{\nu}$ P 的去除率: $R_n=(C_0-C_n)/C_0$ 

式中: $R_n$  为第 n 天时藻类对营养物质的去除率: $C_0$  为 营养物质的初始浓度, $mg \cdot L^{-1}$ ; $C_n$  为第 n 天营养物质 的浓度,mg·L-1。

统计学分析包括单因素方差分析(AVNON)和相 关性分析,均采用 SPSS 19.0 完成。

## 结果与分析

## 2.1 底栖藻类-苦草处理系统的水质净化效果

在5个处理组中,A、B、C为高浓度组(初始TP为 8~11 mg·L<sup>-1</sup>), D 为中浓度组(初始 TP 为 3~4 mg·L<sup>-1</sup>), E 为低浓度组(初始 TP 为 0.1~0.2 mg·L<sup>-1</sup>)。在整个试 验期间,不同处理组 COD 随处理时间的增加而下降, A、B 组对 COD 的去除效果较好(图 1),均由初始浓 度(>280 mg·L<sup>-1</sup>)降至 50 mg·L<sup>-1</sup> 左右,COD 的最大去 除率均出现在试验的第 16 d, 分别为 95.76%、 91.64%。比较发现, C、D组 COD 去除效果明显优于 E 组,其中D组的去除效果最好,其COD的去除率为 69.74%~92.87%, 浓度由 191.06 mg·L-1 降至 13.61 mg·L-1;E 组水中 COD 浓度在 13.34~24.60 mg·L-1 之 间波动,未表现出显著处理效果,最大去除率仅为 34.34%

A~D 处理组 TP、TDP、SRP 浓度都表现出显著下 降趋势(P<0.05),其中 A~C 组的 TP、TDP、SRP 在试 验 16 d 后,均由高浓度(>7 mg·L<sup>-1</sup>)降至 1 mg·L<sup>-1</sup> 左 右,处理后期的波动幅度较小(图1),最大去除率均 在83%以上,平均去除率在53.20%~67.01%之间;D 组的终浓度降至约 0.3 mg·L<sup>-1</sup>, 且对 TP、TDP、SRP 的 最大去除率均为90%左右。比较发现,C、D组对TP、 TDP、SRP浓度的平均去除率均高于62%,高于A、B 组(均小于 59%)。E 组的 TP 浓度由 0.14 mg·L<sup>-1</sup>降至 0.05 mg·L<sup>-1</sup>,最大去除率可达 64.97%,但去除效果不 如 C 处理组显著(P < 0.05)。与此同时, E 组水中 TDP和 SRP 浓度表现出增长趋势(图 1),均在第 16 d 达 到最大值,分别为 0.15、0.13 mg·L<sup>-1</sup>。

各组的 TN、TDN 具有相似的变化趋势, 且 A~C 组 TN、TDN 的去除效果显著高于 E组(P<0.05)。到试 验中后期(第16~32d),A、B组TN、TDN浓度均降至 1.5~5.5 mg·L<sup>-1</sup>之间,最高去除率均达 85%以上;C 组 TN浓度可最低降至 1.36 mg·L-1, 其 TN、TDN 的最大

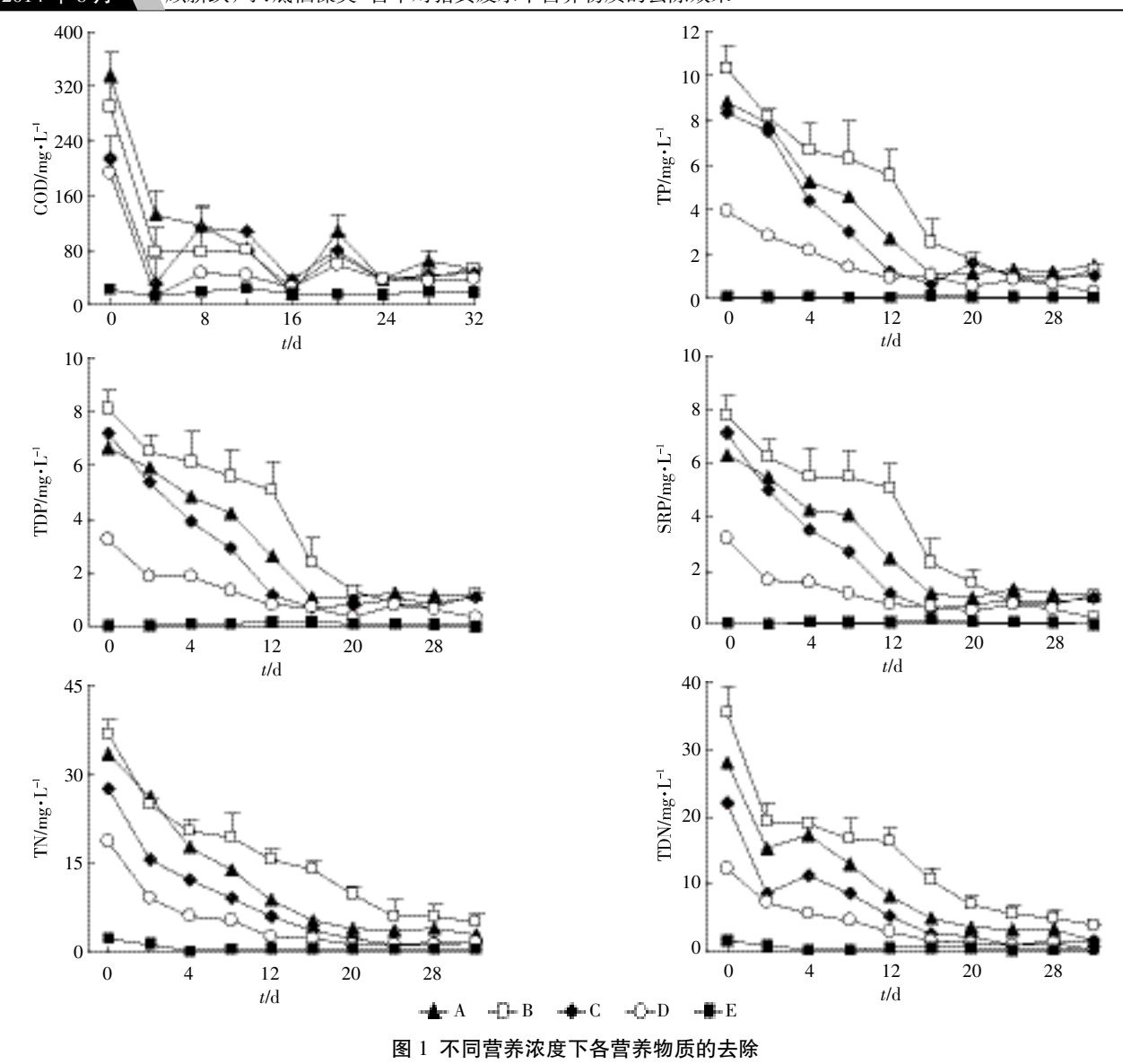


Figure 1 Removals of COD, TP, TDP, SRP, TN and TDN at different concentrations of nutrients

去除率都为 95%左右(图 1)。在试验第 4 d,E 组 TN、TDN 浓度分别降至  $1.9 \times 1.23 \text{ mg} \cdot \text{L}^{-1}$ ,C、D 组水质中 TN、TDN 的平均去除率均高于 70%,而 A、B、E 组水质中 TN、TDN 平均去除率均低于 65%。

## 2.2 底栖藻类、浮游藻类、苦草 Chla 含量变化

各组底栖藻类 Chla 含量在试验期间表现出不同的变化规律(图 2),其中 A 组在第 16 d 达到最高值(339.98 μg·g<sup>-1</sup>),试验后期也一直处于较高水平。 C、D 组的 Chla 含量均在第 12 d 达到最大值,分别为227.89、513.72 μg·g<sup>-1</sup>;在试验后期,C 组 Chla 含量变化不大,但 D 组在第 20 d 后,Chla 的含量逐渐降低。 E 组的底栖藻类基本上没有生长,其 Chla 含量从第 2 d 开始就逐渐降低。 A、C 组底栖藻类在整个试验过程中脱落死亡现象不明显,而 D、E 组底栖藻类在试验

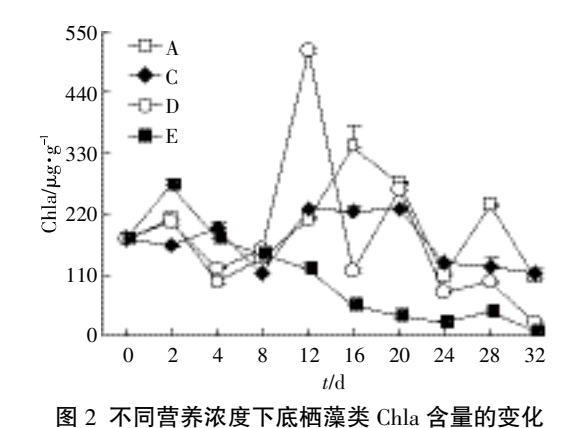


Figure 2 Variations of chlorophyll a of periphyton over time at different concentrations of nutrients

中后期逐渐衰退脱落。

试验期间,A 组浮游藻类 Chla 含量明显高于 B 组(图 3),A、B 组浮游藻类 Chla 含量平均值分别为 19.3、 $6.1 \, \mu g \cdot g^{-1}$ 。C、D 组 Chla 含量(均值分别为22.46、16.13  $\, \mu g \cdot g^{-1}$ )高于 E 组(均值 5.9  $\, \mu g \cdot g^{-1}$ )。在试验后期 (第 20 d 后),C 组 Chla 含量波动幅度较大,最高可达 77.10  $\, \mu g \cdot g^{-1}$ 。

各组苦草 Chla 含量均有短期的增长(图 4),其中 B~D 组最高值均在  $1.1~\text{mg}\cdot\text{g}^{-1}$  左右,E 组最高值仅为  $0.79~\text{mg}\cdot\text{g}^{-1}$ 。在试验第 4~d 后,各组苦草 Chla 含量均出 现下降趋势,其中 B 组降幅最大,其 Chla 含量明显低于 C~E 组,而 C、D 组(均值分别为  $0.63~0.54~\text{mg}\cdot\text{g}^{-1}$ ) 略高于 E 组(均值  $0.45~\text{mg}\cdot\text{g}^{-1}$ )。

### 2.3 不同浓度的猪粪废水对苦草生化指标的影响

经过 32 d 的试验,各组苦草鲜重(表 1)具有显著性差异(P<0.05)。实验结束时,各组苦草鲜重都有所增加,其中:D组增加最多(约为 56.7 g),E组次之,B、C组增量明显低于 D、E组;C组增量高于 B组。

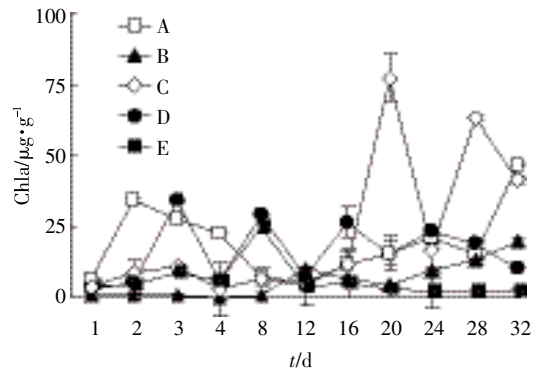


图 3 不同营养浓度下浮游藻类 Chla 含量的变化

Figure 3 Variations of chlorophyll a of phytoplankton over time at different concentrations of nutrients

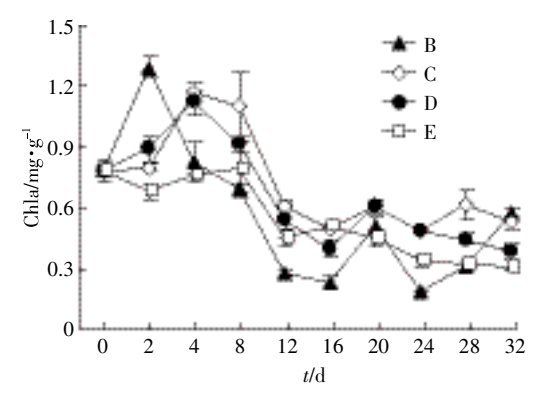


图 4 不同营养浓度下苦草 Chla 含量的变化

Figure 4 Variations of chlorophyll a of *V. natan* over time at different concentrations of nutrients

#### 表 1 实验初始和结束时各组苦草鲜重

Table 1 Fresh weight of *V. natans* at different concentrations of nutrients before and after experiment

			1	
编号	В	С	D	E
实验前鲜重/g	44.5±0.30a	44.6±0.15a	44.6±0.26a	44.5±0.35a
实验后鲜重/g	51.7±2.9a	78.6±0.15b	101.3±0.44c	86.5±0.06d

注:不同字母表示数值之间差异显著(P<0.05)。

试验的前 7 d,各组苦草的过氧化氢酶(CAT)活性都明显增加(图 5)。但 7 d 后,B 组苦草 CAT 活性呈上升趋势,C、D、E 组苦草的 CAT 活性呈下降趋势。

丙二醛(MDA)含量的多少反映脂膜在逆境环境中的伤害程度,含量越高其受伤害程度越大[14]。试验期间,B、C组苦草丙二醛含量高于D、E组,且B组略高于C组(图6),说明高浓度猪粪废水对苦草的伤害程度高于中、低浓度组。B组苦草受伤害程度最大,与实际观察到的现象一致(B组苦草叶片在实验过程中变黑死亡);C组苦草叶片有极少量变黑,但长势较好;D、E组苦草出现分蘖,叶片较宽,颜色鲜绿。

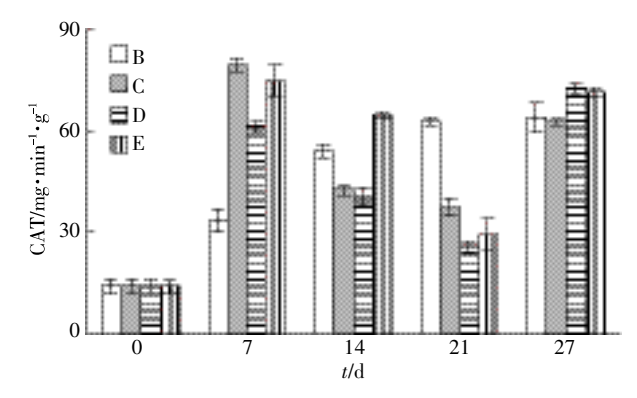


图 5 苦草过氧化氢酶活性的变化

Figure 5 Variations of catalase activity of *V. natans* over time at different concentrations of nutrients

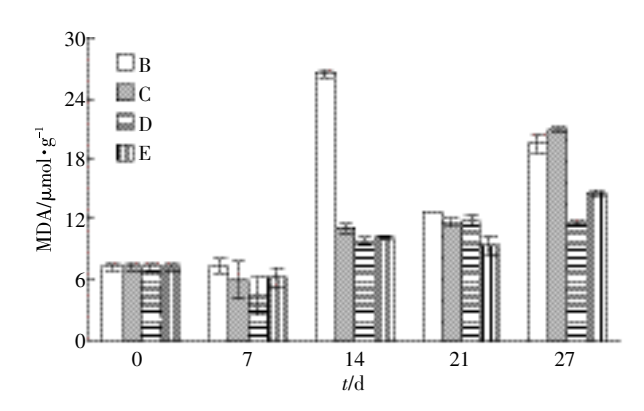


图 6 苦草丙二醛含量的变化

Figure 6 Variations of malondialdehyde content of *V. natans* over time at different concentrations of nutrients

## 3 讨论

# 3.1 底栖藻类-苦草对不同浓度猪粪废水中营养物质 的去除效果

底栖藻类-苦草混合培养时对高浓度猪粪废水中 COD 的去除效果,与水葫芦对高浓度废水中 COD 的 去除效果相当(最大去除率均在80%以上)[15]。不同浓 度组比较,底栖藻类-苦草对中浓度废水 COD(D组) 的处理效果最佳,但对低浓度废水(E组)COD的处理 效果不显著。李龙山等100研究表明,5种水生植物可将 相当浓度(均约 190 mg·L-1)废水中的 COD 最终降至 8~19 mg·L<sup>-1</sup>。这可能与废水的种类、所用水生植物的 种类不同有关。

比较底栖藻类废水处理研究结果发现,氮、磷污 染物质的去除效果存在差异。Rectenwald 等[17]构建的 底栖藻类-鱼系统对污水中磷有较高的去除率(达 82%),但对氮的去除率却仅为 23%。Murdock 等[18]利 用底栖藻类处理农业污水,其对污水中 TN 的去除率 可达 62%, 而对污水中 TP 的去除率仅为 29%。梁霞 等阿研究的底栖藻类水质处理系统也具有较高的氮 去除率,而对水体中磷的去除存在一定限制。在本试 验中,底栖藻类-苦草混合培养系统对中、高浓度氮磷 物质的去除效果显著。在国外,对高浓度污水中氮、磷 物质均有较好处理效果的以底栖藻类为主的"藻从 刷"系统、跑道池,已经得到了实际的应用[20-21]。

#### 3.2 苦草最佳生长条件探讨

苦草对富营养化水体中的氮磷有很好的去除效 果,但是很少有将其用于污水处理的报道,主要是因 为过高的营养负荷会对其产生逆境胁迫。研究认为在 适官范围内,较高的氮磷浓度可促进沉水植物的生 长,但过高的氮磷浓度则会严重抑制其生长,甚至导 致沉水植被消失[22]。水体中较高的氮磷浓度对沉水植 物而言,同盐胁迫、环境污染物胁迫一样,会影响其正 常生理活动[23-24]。

本试验中高浓度组苦草 MDA、CAT、Chla 含量、 鲜重的比较均表明,有底栖藻类存在时,苦草受伤害 程度明显变轻,说明底栖藻类与苦草共存,有利于减 缓高浓度废水对苦草的胁迫。底栖藻类能过量吸收超 过其即时生长所需要的营养物质,储存在细胞内,并 且这种能力与外部水体的营养负荷水平呈正相关四。 底栖藻类这种快速去除高营养物质的能力可能对苦 草的生长有利,同时生态系统的多样性和复杂性的提 高,有利于增强苦草的竞争力,这也是苦草与底栖藻

类共存时生长较好的另一重要原因。底栖藻类的存在 可以减缓高浓度氮磷对苦草的逆境胁迫,但并不是苦 草生长的最佳条件。在试验后期,高浓度组水体中浮 游藻类 Chla 含量大幅增加,对苦草长期生长构成威 胁,而低浓度组中苦草 Chla 含量也明显下降,只有中 浓度组苦草的 Chla 含量一直处于较高水平,显示了 较强的光合能力,是苦草长期生长的最佳条件。由此 推测,在中浓度(TP=3~4 mg·L<sup>-1</sup>;TN≈18.79 mg·L<sup>-1</sup>)的 猪粪废水中,与底栖藻类混合培养的苦草生长最好, 最有利于其恢复重建。

## 4 结论

- (1)不同培养系统对高浓度猪粪废水 COD 的最 大去除率均大于86%;底栖藻类-苦草混合培养组对 高、中浓度猪粪废水中磷、氮的平均去除率均大于 62%和70%,高于二者单独培养的处理组(均小于59% 和 65%)。
- (2)有底栖藻类的高浓度处理组中浮游藻类 Chla 的含量要高于苦草单独培养组。
- (3) 苦草 Chla、MDA、CAT 含量的变化显示高浓度 猪粪废水对苦草生长产生短期的逆境胁迫,但底栖藻 类的存在可以减缓这种胁迫效应,有利于苦草的恢复 重建。

### 参考文献:

- [1] 王 婷, 耿绍波, 常高峰. 人工湿地植物对生活污水净化作用的研究 进展[J]. 环境科学与技术, 2013, 36(Suppl1): 210-212. WANG Ting, GENG Shao-bo, CHANG Gao-feng. Aduances in studies on the purification of artificial wetland plants for sanitary sewage[J]. Environmental Science & Technology, 2013, 36(Suppl1): 210-212.
- [2] Kouki S, M'hiri F, Saidi N, et al. Performances of a constructed wetland treating domestic wastewaters during a macrophytes life cycle[J]. Desalination, 2009, 246(1):452-467.
- [3] 黄玉源, 雷泽湘, 何柳静, 等. 不同磷浓度对水生植物苦草的影响研 究[J]. 环境科学与技术, 2011, 34(2):12-16. HUANG Yu-yuan, LEI Ze-xiang, HE Liu-jing, et al. Effects of phosphorus concentration of substrates to growth of Vallisneria natans[J].Environmental Science & Technology, 2011, 34(2):12-16.
- [4] Pietro K C, Chimney M J, Steinman A D. Phosphorus removal by the Ceratophyllum/periphyton complex in a South Florida (USA) freshwater marsh[J]. Ecological Engineering, 2006, 27(4):290-300.
- [5] Wolfe III J E, Lind O T. Phosphorus uptake and turnover by periphyton in the presence of suspended clays[J]. Limnology, 2010, 11(1):31-37.
- [6] 马沛明, 况琪军, 凌晓欢, 等. 藻类生物膜技术脱氮除磷效果研究[J]. 环境科学, 2007, 28(4):695-704.

农业环境科学学报 第33卷第8期

- MA Pei-ming, KUANG Qi-jun, LING Xiao-huan, et al. Study on efficiency of nitrogen and phosphorus removal by algal biofilm[J]. Environmental Science, 2007, 28(4):695-704.
- [7] 陈开宁, 兰策介, 史龙新, 等. 苦草繁殖生态学研究[J]. 植物生态学 报,2006,30(3):487-495.
  - CHEN Kai-ning, LAN Ce-jie, SHI Long-xin, et al. Reproductive ecology of Valloisneria natans[J]. Journal of Plant Ecology, 2006, 30(3): 487-495
- [8] 宋玉芝, 杨美玖, 秦伯强. 苦草对富营养化水体中氮磷营养盐的生 理响应[J]. 环境科学, 2011, 32(9):2569-2575.
  - SONG Yu-zhi, YANG Mei-jiu, QIN Bo-qiang. Physiological response of Vallisneria natans to nitrogen and phosphorus contents in eutrophic waterbody[J]. Environmental Science, 2011, 32(9):2569-2575.
- [9] 国家环境保护总局. 水和废水监测分析方法[M]. 北京:中国环境科 学出版社, 2002.
  - State Environmental Protection Administration. Determination methods for examination of water and wastewater[M]. Beijing: China Environmental Science Press, 2002.
- [10] APHA. Standard methods for the examination of water and wastewater [M]. Washington D C: American Public Health Organisation. 1998.
- [11] 孔详生, 易现峰. 植物生理学实验技术[M]. 北京: 中国农业出版社,
  - KONG Xiang-sheng, YI Xian-feng. Plant physiology experimental techniques[M]. Beijing: China Agriculture Press, 2008.
- [12] 张以顺, 黄 霞, 陈云凤. 植物生理学实验教程[M]. 北京:高等教育 出版社, 2009.
  - ZHANG Yi-shun, HUANG Xia, CHEN Yun-feng. Plant physiology experimental guide[M]. Beijing: Higher Education Press, 2009.
- [13] 杨兰芳, 庞 静, 彭小兰, 等. 紫外分光光度法测定植物过氧化氢 酶活性[J]. 现代农业科技, 2009(20): 364-366.
  - YANG Lan-fang, PANG Jing, PENG Xiao-lan, et al. Measurement of catalase activity in plants by ultraviolet spectrophotometry[J]. Modern Agricultural Sciences and Technology, 2009(20):364-366.
- [14] 刘晓培, 张饮江, 李 岩, 等. 不同盐度对苦草生理特征的影响[J]. 生态学报,2012,31(6):606-612.
  - LIU Xiao-pei, ZHANG Yin-jiang, LI Yan, et al. Effect of different salinity on physiological features of Vallisneria natans[J]. Ecological Science, 2012, 31(6):606-612.
- [15] 黄惠珠, 叶 夏, 黄秀声, 等. 水葫芦净化猪粪便污水效果的研究[J].

- 可再生能源, 2008, 26(4):105-108.
- HUANG Hui-zhu, YE Xia, HUANG Xiu-sheng, et al. Study on the purification effect of water hyacinth for pig excrement sewage[J]. Renewable Energy Resources, 2008, 26(4):105-108.
- [16] 李龙山, 倪细炉, 李志刚, 等. 5 种湿地植物生理生长特性变化及其 对污水净化效果的研究[J]. 农业环境科学学报, 2013, 32(8):1625-
  - LI Long-shan, NI Xi-lu, LI Zhi-gang, et al. Growth characteristics and sewage cleaning effect of five wetland plants[J]. Journal of Agro-Environment Science, 2013, 32(8):1625-1632.
- [17] Rectenwald L L, Drenner R W. Nutrient removal from wastewater effluent using an ecological water treatment system[J]. Environmental Science & Technology, 2000, 34(3):522-526.
- [18] Murdock J N, Shields Jr F D, Lizotte Jr R E. Periphyton responses to nutrient and atrazine mixtures introduced through agricultural runoff[J]. Ecotoxicology, 2013, 22(2):215-230.
- [19]梁 霞,李小平,史雅娟. 周丛藻类水质处理系统中氮、磷污染物去 除效果研究[J]. 环境科学学报, 2008, 28(4):695-704. LIANG Xia, LI Xiao-ping, SHI Ya-juan. Nutrient removal from contaminated river water using a periphyton water treatment system[J]. Acta Scientiae Circumstantiae, 2008, 28(4):695-704.
- [20] Mulbry W, Kangas P, Kondrad S. Toward scrubbing the bay: Nutrient removal using small algal turf scrubbers on Chesapeake Bay tributaries[J]. Ecological Engineering, 2010, 36(4):536-541.
- [21] DeBusk T A, Grace K A, Dierberg F E, et al. An investigation of the limits of phosphorus removal in wetlands: A mesocosm study of a shallow periphyton-dominated treatment system[J]. Ecological Engineering, 2004, 23(1):1-14.
- [22] Ozimek T, Kowalczewski A. Long-term changes of the submerged macrophytes in eutrophic Lake Mikołajskie (North Poland) [J]. Aquatic Botany, 1984, 19(1):1-11.
- [23] Nielsen D L, Brock M A, Crosslé K, et al. The effects of salinity on aquatic plant germination and zooplankton hatching from two wetland sediments[J]. Freshwater Biology, 2003, 48(12):2214-2223.
- [24] Saunkaew P, Wangpakapattanawong P, Jampeetong A. Growth, morphology, ammonium uptake and nutrient allocation of Myriophyllum brasiliense Cambess under high NH4 concentrations[J]. Ecotoxicology, 2011, 20(8): 2011-2018.